

УДК 669.162.23

Басок Б.И., Гоцуленко В.В.*Институт технической теплофизики НАН Украины***ТЕРМОАКУСТИЧЕСКИЕ КОЛЕБАНИЯ В ДИСКРЕТНО - РАСПРЕДЕЛЕННОМ КОЛЕБАТЕЛЬНОМ КОНТУРЕ ПРИ ТЕПЛОПОДВОДЕ**

Розглядається дискретно-розподілений коливальний контур, що складається з вертикальної труби з теплопідводом в нижній її частині. Припускаючи, що в контурі із зосередженими параметрами генеруються автоколивання з формою близькою до гармонійних коливань, отримані співвідношення, які встановлюють характер їх перетворення в розподілений частині динамічної системи, що розглядається.

Рассматривается дискретно-распределенный колебательный контур, состоящий из вертикальной трубы с теплоподводом в нижней ее части. Предполагая, что в контуре с сосредоточенными параметрами генерируются автоколебания по форме близкие к гармоническим колебаниям, получены соотношения, устанавливающие характер их преобразования в распределенной части рассматриваемой динамической системе.

It is considered discretely-distributed oscillatory contour consisting of a vertical pipe with heat supply in her bottom part. Assuming, that in a contour with the concentrated parameters self-oscillations under the form close to harmonious fluctuations are generated, expressions their transformations establishing character to the distributed part considered to dynamic system are received.

C – акустическая гибкость колебательного контура с распределенными параметрами;
 $H(Q)$ – напорная характеристика теплоподвода распределенного контура;
 L – акустическая масса колебательного контура с распределенными параметрами;
 $P_{\Gamma}(t)$ – давление в сосредоточенном контуре;
 $P(x,t)$ – давление в распределенном контуре;

$Q_{\Gamma}(t)$ – объемный расход в сосредоточенном контуре;
 $Q(x,t)$ – объемный расход в распределенном контуре;
 $\text{Re}[F]$ – вещественная часть комплексной величины $F=f_1+if_2$;
 ξ – стационарное значение расхода в колебательном контуре с сосредоточенными параметрами.

Введение

Известно, что автоколебания феномена Рийке моделируют закономерности вибрационного горения, которое возбуждается и поддерживается теми же механизмами неустойчивости, которые не связаны с запаздыванием сгорания топлива [1]. Описание этого нестационарного режима хорошо изучено для вертикальной трубы [2-3], которая моделируется колебательным контуром с сосредоточенными параметрами.

В практике вертикальные камеры горения воздушнонагревателей доменных печей, дымовые трубы промышленных нагревательных печей, печи по типу трубы Рийке, сжигающие бытовые отходы, являются системами с распределенными параметрами.

Постановка задачи и алгоритм ее решения

В данной работе труба Рийке моделируется

как динамическая система, состоящая из двух колебательных контуров (рис.1). В зоне теплоподвода расположен колебательный контур с сосредоточенными параметрами. Из-за действия известных [1-3] механизмов неустойчивости в этом контуре возбуждаются термоакустические автоколебания, которые далее передаются в верхнюю часть трубы – распределенный колебательный контур. Предполагая, что колебания в сосредоточенном колебательном контуре по форме близки к гармоническим колебаниям, задачей данной работы является аналитическое определение форм колебаний в распределенном колебательном контуре.

Динамика в распределенной части, рассматриваемой колебательной системы, описывается следующей нелинейной системой телеграфных уравнений [2]:

$$\begin{cases} \frac{\partial P}{\partial x} = H(Q) - L \frac{\partial Q}{\partial t}, \\ \frac{\partial Q}{\partial x} = -C \frac{\partial P}{\partial t}, \end{cases} \quad (1)$$

которая дополняется граничными условиями:

$$P(x,t)|_{x=0} = P_{\Gamma}(t), Q(x,t)|_{x=0} = Q_{\Gamma}(t), \quad (2)$$

где $P_{\Gamma}(t)$ и $Q_{\Gamma}(t)$ – периодические решения, соответствующие предельному циклу в колебательном контуре с сосредоточенными параметрами. Природа и причины возбуждения автоколебаний в этом контуре хорошо изучены [1-3]. Как в случае естественного движения (рис.1, а), так и создаваемого нагнетателем (рис.1, б), термоакустические автоколебания в этом контуре по форме близкие к гармоническим, могут быть аналитически представлены в виде:

$$Q_{\Gamma}(t) = \text{Re}[Q_0 \exp(i\omega t)],$$

$$P_{\Gamma}(t) = \text{Re}[P_0 \exp(i\omega t)],$$

где Q_0, P_0 – комплексные амплитуды, $\omega > 0$ – частота.

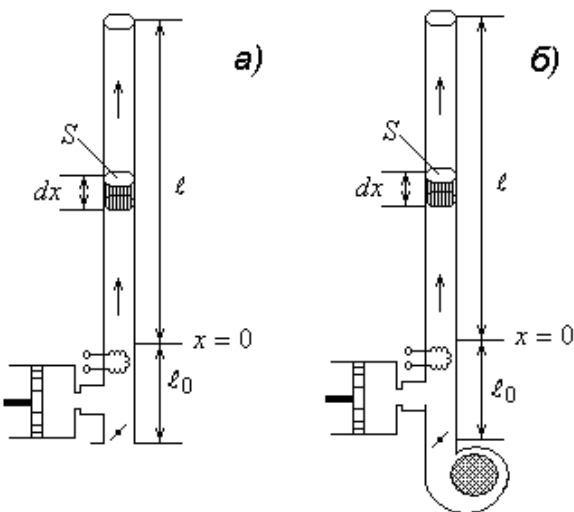


Рис. 1. Схема рассматриваемого дискретно-распределенного колебательного контура:
а) при естественном движении;
б) при напорном движении создаваемым нагнетателем.

Дифференцируя первое уравнение (1) по t , а второе – по x , и исключая смешанную производную $\frac{\partial^2 P}{\partial x \partial t}$, получим следующее уравнение второго порядка

$$a^2 \frac{\partial^2 Q}{\partial x^2} - \frac{\partial^2 Q}{\partial t^2} + b \frac{\partial Q}{\partial t} = 0, \quad (3)$$

где положено: $a = 1/\sqrt{LC}$,

Выполняя линеаризацию характеристики $H(Q) \approx k(Q - \xi) + H_0$ получим $b = k/L$. Рассматривая решения $Q(x,t) = Q(t)$, не зависящие от пространственной переменной x , легко получить, что $Q = C_1 + C_2 \exp(bt)$, и следовательно при положительном коэффициенте $b > 0$, т.е. на восходящей ветви $dH/dQ > 0$ характеристики $H(Q)$ колебания нарастают, а при $b < 0$ убывают.

Будем искать решения $Q(x,t)$ из класса $C^{2,2}(\Omega \times \mathbb{R})$, где $\Omega = [0, \ell]$, $\Gamma = \partial\Omega = \{0, \ell\}$.

Предполагаем, что граничные условия являются следующими:

$$Q|_{\Gamma} = \text{Re}[\Phi(x) \exp(i\omega t)], \Phi = \Phi_1 + i\Phi_2, \quad (4)$$

где Φ_i ($i = \overline{1,2}$) не зависят от времени t .

Решение будем искать в виде [7]:

$$Q(x,t) = \text{Re}[v(x) \exp(i\omega t)], v = v_1 + iv_2, \quad (5)$$

т.е. $Q(x,t) = v_1(x) \cos(\omega t) - v_2(x) \sin(\omega t)$.

Подставляя (5) в (3) получим:

$$\begin{aligned} & \cos(\omega t) \left[\Delta v_1 + \frac{\omega^2 + c}{a^2} v_1 - \frac{b\omega}{a^2} v_2 \right] - \\ & - \sin(\omega t) \left[\Delta v_2 + \frac{\omega^2 + c}{a^2} v_2 + \frac{b\omega}{a^2} v_1 \right] = 0. \end{aligned}$$

Откуда, в силу линейной независимости функций

$\cos(\omega t)$ и $\sin(\omega t)$ следует, что:

$$\Delta v_1 + \frac{\omega^2 + c}{a^2} v_1 - \frac{b\omega}{a^2} v_2 = 0,$$

$$\Delta v_2 + \frac{\omega^2 + c}{a^2} v_2 + \frac{b\omega}{a^2} v_1 = 0,$$

или в комплексной форме:

$$\Delta v + \lambda v = 0, \quad (6)$$

где положено $\lambda = \frac{\omega^2}{a^2} \left(1 + i \frac{b}{\omega}\right)$. Таким образом,

функция $v(x) = v_1(x) + i v_2(x)$ удовлетворяет уравнению Гельмгольца (уравнению амплитуд) (6) тогда и только тогда, когда функция $Q(x, t) = \text{Re}[v(x) \exp(i\omega t)]$ является решением телеграфного уравнения (3). Из граничного условия (4) получаем условие на комплексную амплитуду $v|_{\Gamma} = \Phi(x)$. (7)

Следовательно, мы получили, что внутренняя задача Дирихле об установившихся колебаниях (3)-(4) эквивалентна краевой задаче (6)-(7). Рассматривая любую дважды непрерывно дифференцируемую функцию $U(x)$, такую, что $U(x)|_{\Gamma} = \Phi(x)$, например, $U(x) = \Phi(0) \frac{\ell-x}{\ell} + \Phi(\ell) \frac{x}{\ell}$, замена $v' = v - U$ приводит к задаче с нулевыми граничными условиями:

$$\Delta v' + \lambda v' = -\frac{F}{a^2}, \quad v'|_{\Gamma} = 0, \quad (8)$$

где $F = a^2 (\Delta U + \lambda U) \equiv f_1 + i f_2$.

Далее, обозначим через $G(x, \xi)$ функцию Грина [4] следующей внутренней однородной задачи Дирихле для уравнения Лапласа:

$$\Delta v = 0, \quad v|_{\Gamma} = 0. \quad (9)$$

Тогда решение однородной задачи для уравнения Пуассона $\Delta v = -F$, $v|_{\Gamma} = 0$ представляется в виде

следующего интеграла $v(x) = \int_{\Omega} G(x, \xi) F(\xi) d\xi$ и, следовательно, для решения задачи (8) получаем представление: $v'(x) = J(x) + \lambda \int_{\Omega} G(x, \xi) v'(\xi) d\xi$,

$$\text{где } J(x) = \frac{1}{a^2} \int_{\Omega} G(x, \xi) F(\xi) d\xi. \quad (10)$$

В нашем случае ядро $G(x, \xi)$ полученного интегрального уравнения Фредгольма второго рода (10) можно вычислить явно:

$$G(x, \xi) = \begin{cases} \xi \left(1 - \frac{x}{\ell}\right), & \text{при } 0 \leq \xi \leq x, \\ x \left(1 - \frac{\xi}{\ell}\right), & \text{при } \xi \geq x. \end{cases} \quad (11)$$

Положим далее $\Phi(0)=A$, $\Phi(\ell)=0$, т.е. будем считать, что на входе в распределенную трубу колебания имеют амплитуду A , а на выходе колебательный процесс за счет диссипации энергии прекратился. Тогда $U(x) = \frac{A}{\ell}(\ell-x)$, $F' = a^2 \lambda U$,

$$J(x) = \frac{1}{a^2} \int_0^{\ell} G(x, \xi) F'(\xi) d\xi = \frac{A \lambda}{6 \ell} x (x^2 - 3x\ell + 2\ell^2).$$

Мы далее воспользуемся теоремой Гильберта-Шмидта [5]: пусть интегральное уравнение Фредгольма второго рода:

$$\varphi(x) - \lambda \int_0^{\ell} G(x, \xi) \varphi(\xi) d\xi = f(x),$$

имеет непрерывную правую часть $f(x)$ и непрерывное ограниченное симметричное ядро $G(x, \xi) = G(\xi, x)$, тогда справедливо разложение:

$$\varphi(x) = f(x) - \lambda \sum_{n=1}^{\infty} \frac{a_n}{\lambda - \lambda_n} \varphi_n(x),$$

где $a_n = \int_0^{\ell} f(x) \varphi_n(x) dx$, λ_n – собственные числа, $\varphi_n(x)$ – соответствующие им ортонормированные в пространстве $L_2(0, \ell)$ собственные функции однородного уравнения:

$$\varphi(x) - \lambda \int_0^{\ell} G(x, \xi) \varphi(\xi) d\xi = 0.$$

В случае нашего ядра $G(x, \xi)$ определяемого выражением (11), можно показать, что [5]:

$$\lambda_n = \frac{\pi^2 n^2}{\ell^2}, \quad \varphi_n(x) = \sin\left(\frac{\pi n x}{\ell}\right).$$

Поэтому для функции $v'(x)$ получаем представление:

$$v'(x) = J(x) - \lambda \sum_{n=1}^{\infty} \frac{a_n}{\lambda - \lambda_n} \varphi_n(x), \quad (12)$$

где:

$$\lambda = \frac{\omega^2}{a^2} \left(1 + i \frac{b}{\omega} \right),$$

$$a_n = \int_0^\ell J(x) \sin\left(\frac{\pi n x}{\ell}\right) dx = \lambda A \frac{\ell^3}{\pi^3 n^3}.$$

Таким образом:

$$v'(x) = \frac{A\lambda x}{6\ell} (x^2 - 3x\ell + 2\ell^2) - \frac{\lambda^2 A \ell^3}{\pi^3} \sum_{n=1}^{\infty} \frac{a_n}{n^3 \left(\lambda - \frac{\pi^2 n^2}{\ell^2} \right)} \sin\left(\frac{\pi n x}{\ell}\right),$$

откуда:

$$v(x) = \frac{A}{\ell} (\ell - x) + \frac{A\lambda x}{6\ell} (x^2 - 3x\ell + 2\ell^2) - \frac{\lambda^2 A \ell^3}{\pi^3} \sum_{n=1}^{\infty} \frac{a_n}{n^3 \left(\lambda - \frac{\pi^2 n^2}{\ell^2} \right)} \sin\left(\frac{\pi n x}{\ell}\right). \quad (13)$$

Для решения $Q(x, t)$ необходимо согласно (5) найти

$$\begin{aligned} \operatorname{Re}[v(x) \exp(i\omega t)] &= \\ &= v_1(x) \cos(\omega t) - v_2(x) \sin(\omega t), \end{aligned}$$

где $v = v_1 + i v_2$.

$$\text{Положим } \beta(x) = \frac{x}{6\ell} (x^2 - 3x\ell + 2\ell^2), \quad \tilde{\lambda}_1 = \frac{\omega^2}{a^2}, \quad \tilde{\lambda}_2 = \frac{\omega b}{a^2},$$

тогда $\lambda = \tilde{\lambda}_1 + i \tilde{\lambda}_2$,

$$\begin{aligned} \frac{\lambda}{\lambda - \lambda_n} &= \frac{\tilde{\lambda}_1 (\tilde{\lambda}_1 - \lambda_n) - \tilde{\lambda}_2^2}{(\tilde{\lambda}_1 - \lambda_n)^2 + \tilde{\lambda}_2^2} + \\ &+ i \frac{\tilde{\lambda}_2 (\tilde{\lambda}_1 - \lambda_n) - \tilde{\lambda}_1 \tilde{\lambda}_2}{(\tilde{\lambda}_1 - \lambda_n)^2 + \tilde{\lambda}_2^2} \equiv v_{1,n} + i v_{2,n}, \end{aligned}$$

$$\begin{aligned} v'(x) &= \frac{A\lambda x}{6\ell} (x^2 - 3x\ell + 2\ell^2) - \\ &- \frac{\lambda^2 A \ell^3}{\pi^3} \sum_{n=1}^{\infty} \frac{a_n}{n^3 \left(\lambda - \frac{\pi^2 n^2}{\ell^2} \right)} \sin\left(\frac{\pi n x}{\ell}\right) = \\ &= A (\tilde{\lambda}_1 + i \tilde{\lambda}_2) \cdot \left[\beta(x) - \frac{\ell^3}{\pi^3} \sum_{n=1}^{\infty} \frac{\Phi_n(x)}{n^3} (v_{1,n} + i v_{2,n}) \right], \end{aligned}$$

откуда:

$$\begin{aligned} v_1(x) &= \frac{A}{\ell} (\ell - x) + \\ &+ A \tilde{\lambda}_1 \left[\beta(x) - \frac{\ell^3}{\pi^3} \sum_{n=1}^{\infty} \frac{v_{1,n}}{n^3} \Phi_n(x) \right] + \\ &+ A \tilde{\lambda}_2 \frac{\ell^3}{\pi^3} \sum_{n=1}^{\infty} \frac{v_{2,n}}{n^3} \Phi_n(x), \end{aligned} \quad (14)$$

$$\begin{aligned} v_2(x) &= A \tilde{\lambda}_2 \left[\beta(x) - \frac{\ell^3}{\pi^3} \sum_{n=1}^{\infty} \frac{v_{1,n}}{n^3} \Phi_n(x) \right] - \\ &- A \tilde{\lambda}_1 \frac{\ell^3}{\pi^3} \sum_{n=1}^{\infty} \frac{v_{2,n}}{n^3} \Phi_n(x). \end{aligned} \quad (15)$$

Таким образом, подставляя формулы (14) и (15) в (5) получаем окончательное выражение

для решения

$$Q(x, t) = v_1(x) \cos(\omega t) - v_2(x) \sin(\omega t).$$

Выводы

Аналитически получены решения телеграфного уравнения, определяющие установившиеся термоакустические колебания в вертикальной трубе с теплоподводом в нижней ее части, рассматриваемой как дискретно-распределенную динамическую систему.

Показано, что в случае, когда стационарный режим находится в области восходящей ветви $dH/dQ > 0$ напорной характеристики теплоподвода $H(Q)$, то колебания в распределенном контуре нарастают по амплитуде, а при $dH/dQ < 0$ убывают.

ЛИТЕРАТУРА

1. Гоцуленко В.В. Управление автоколебаниями колеблющегося пламени при одновременном действии механизмов их возбуждения / В. В. Гоцуленко, Б.И. Басок // Промышленная теплотехника. – 2009. – Т. 31, № 3. – С. 101–107.
2. Гоцуленко В.В. Самовозбуждающиеся автоколебания в вертикальных трубах, включающих элемент с распределенными параметрами, при конвективном теплоподводе / В.В. Гоцуленко / Металургія (Наукові праці ЗДІА). – Запоріжжя: РВВ ЗДІА, 2009. – Вип. 20. – С. 91 – 97.
3. Гоцуленко В.В. Автоколебания в вертикальной трубе, обусловленные конвективным теплообменом / В.В. Гоцуленко // Вісник двигунобудування. – 2009. – № 2. – С. 15 – 17.
4. Положий Г.Н. Уравнения математической физики / Положий Г. Н. – М.: Высшая школа, 1964. – 559 с.
5. Цлаф Л.Я. Вариационное исчисление и интегральные уравнения / Цлаф Л.Я. – М.: Наука, 1970. – 191 с.

Получено 09.12.2009 г.